



Институт Теоретической и  
Экспериментальной Физики

18 - 0

И.А. Голутвин, Н.С. Насикан, Т.Е. Игнатюк

CERN LIBRARIES, GENEVA



СМ-Р00053579

**НОВЫЕ ПОДХОДЫ К ИССЛЕДОВАНИЮ  
ВИРУСОВ ПРИ ПОМОЩИ  
СКАНИРУЮЩЕЙ ЗОНДОВОЙ  
МИКРОСКОПИИ**

Москва

2003

**УДК 578.086**

**НОВЫЕ ПОДХОДЫ К ИССЛЕДОВАНИЮ ВИРУСОВ ПРИ ПОМОЩЬЮ СКАНИРУЮЩЕЙ ЗОНДОВОЙ МИКРОСКОПИИ: Препринт ИТЭФ 18-03/**

Голутвин И.А., Насикан Н.С., Игнатук Т.Е. – М., 2003-14 с.

В работе был предложен метод исследования микромеханики вирусов при помощи силовых кривых атомно-силового микроскопа(ACM), при этом величина модуля Юнга ротавируса составила  $E=1,0 \times 10^8 \pm 0,3 \times 10^8$  Па. Были получены карты распределения упругих характеристик и адгезии зонда к поверхности образца для случая ротавирусов адсорбированных на слюде. В работе были описаны особенности применения подложек обладающих биохимической специфичностью в ACM вирусов на примере аденоовируса. Решена задача фиксации объекта на поверхности подложки для проведения исследования методом ACM. Предложенные подходы позволяют расширить набор характеристик, описывающих вирусную частицу.

**NEW SCANNING PROBE MICROSCOPY ASSISTED APPROACHES TO THE STUDY OF VIRUSES**

Golutvin I.A, Nasikan N.S., Ignatuk T.A.

Present paper demonstrates application of an atomic force microscope (AFM) to the study of individual virus particles. AFM force curves were used to study micromechanics of rotaviruses, this Young's modulus of an individual virus particle was determined ( $E=1,0 \times 10^8 \pm 0,3 \times 10^8$  F). Distributions of mechanical and adhesive properties over the sample surface were plotted. Application of substrates, modified with corresponding antibodies allow to increase analysis specificity and descriptiveness. Present paper describes application of such substrates in the AFM of adenovirus. The proposed approaches allow to extend set of characteristics which describe virus particle.

Рис. 6, список лит. – 20 наим.

## **Введение**

ACM [1] позволяет исследовать различные объекты с разрешением порядка несколи нанометров, строить топографические карты поверхности, оценивать распределение трения между образцом и зондом, исследовать локальные вязкоупругие характеристики поверхности. Большое количество работ, появившихся за последние несколько демонстрируют возможности ACM для изучения различных биологических объектов, этом особое место занимает вопрос исследования вирусных частиц. Так, в работах Малки других [2] изучался рост кристаллов сателлита вируса табачной мозаики с помощью ACM. Результаты исследования вируса табачной мозаики при помощи сканирующего туннельного микроскопа описаны в работах Мантони и др. [3]. Любченко и др. изучали двойную спираль РНК реовируса с помощью ACM [4]. При помощи ACM, работающего в режиме постоянного контакта были исследованы упругие характеристики вируса табачной мозаики [5] и X вириона картофеля [6]. Наибольший интерес с точки зрения проведения исследования методом ACM представляют на наш взгляд патогенные, опасные для человека вирусы которые содержатся в питьевой воде, поскольку полученная информация может быть использована для диагностики а также в вирусологии и фармакологии. В настоящее время обнаружено более 100 патогенных вирусов, циркулирующих в водных объектах, из них 37 выделены из питьевой воды [7]. Вирусы различных семейств, большая часть которых относится к семействам Picornaviridae, Rotaviridae и Adenoviridae. Возможность использования ACM для вирусологического контроля была продемонстрирована на примере вирусов полиомиелита [8], ротавирусов и аденохореи [9]. В этих работах, в режиме снятия топографических карт поверхности была изучена морфология вирусных частиц, адсорбированных на неспецифические подложки. На характеристиках, который описывает вирусную частицу, может быть расширен за счет использования режима снятия силовых кривых ACM и применения подложек обладающих биохимической специфичностью к анализируемому объекту. Режим снятия силовых кривых ACM позволяет исследовать не только морфологию объекта, но и его вязкоупругие свойства.

[10-13], а проведение анализа методом АСМ на аффинных подложках, покрытых антителами обеспечивающих специфическую адсорбцию вирусов, может существенно повысить информативность анализа. Кроме того, использование специфических подложек позволило решить задачу фиксации вируса на поверхности для проведения АСМ исследования в жидкости. В настоящей работе методом АСМ, была исследована микромеханика частиц ротавируса и проведен анализ адено-вирусов, адсорбированных на специфические подложки.

### **Силовые кривые АСМ**

В АСМ поверхность образца сканируется острым зондом (радиус кривизны <20 нм) закрепленным на конце кантileвера, который представляет собой упругую балку (длина балки составляет 100-200 мкм). Во время сканирования сила между зондом и образцом определяется исходя из закона Гука,  $F=kX$ , где  $k$ -жесткость кантileвера, а  $X$  - изгиб балки [1]. Силовая кривая АСМ представляет собой зависимость изгиба балки  $X$  от расстояния между кантileвером и поверхностью образца, построенной для заданной точки поверхности (рис.). Исходя из этой зависимости, можно установить величину силы, которая необходима для деформации образца на заданную величину, и определить упругие характеристики поверхности. В случае биологических материалов силовые кривые были использованы для определения механических свойств костей [10], бактерий [11], эпителиальных клеток [12] молекул лизоцима [13]. Если построить силовые кривые для каждой точки поверхности, можно получить карту распределения механических характеристик по поверхности образца. Входной информацией при этом является массив данных, в котором последовательно записаны силовые кривые для различных точек анализируемого участка поверхности. Разработанное авторами программное обеспечение NanoScale Explorer позволяет работать с такими массивами, графически интерпретировать результаты и строить карты распределения различных характеристик.

## Специфические подложки

Для создания подложек, обладающих биохимической специфичностью использована методика получения пленок Ленгмюра-Блоджетт (ЛБ) комплексов белок – амфи菲尔 полизелектролит (АПЭ) [14-17]. Эта технология успешно зарекомендовала себя в формировании пленок из глококсидазы [14], моноаминооксидазы [15], антител к тирозиназы [17]. В случае создания пленок антител, применение данного подхода позволило существенно повысить их аффинность, что в свою очередь улучшает адсорбционные характеристики специфической подложки. Топография таких пленок были исследованы методом сканирующей туннельной микроскопии [18], а их возможности с точки зрения проведения анализа методом АСМ риккетсий и бактерий были описаны в работе [19].

## Материалы и методы

В качестве модельного вируса для изучения микромеханики вирусной части использовали обезьяний ротавирус SA 11. Наработка партии вируса проводилась в институте полиомиелита и вирусных энцефалитов. В качестве модельного вируса, для фиксации поверхности специфической подложки использовали аденоовирус 6 типа штамма Тс. Наработка партии вируса проводилась в институте гриппа (г. Санкт-Петербург). В работе использовали мышиные моноклональные антитела к гексагональному антигену аденоовиц СY25. Антитела были наработаны в Российском исследовательском центре молекулярной диагностики и терапии. Для формирования ЛБ пленок комплексов белок–АПЭ на поверхности раздела фаз использовали ленгмюровскую ванну (Институт физических проблем, Зеленогорск, Россия) [14]. В качестве АПЭ применялся полиэтиленимин разветвленный модифицированный на 12% цетилбромидом и на 88% этилбромидом. Полимер был синтезирован на кафедре высокомолекулярных соединений химического факультета МГУ. При нанесении пленок комплексов полимер-антитело раствор антител (5 мкг/мл) в трис-буфере (5 mM, pH 8.0) наливали в ЛБ ванну. На поверхность водной субфазы наносили раствор АПЭ в хлороформе, после чего пленку сжимали до поверхностного давления 40 мН/m.

Пленки наносили на различные подложки при помощи метода горизонтального касания Ленгмюра-Шеффера. В качестве подложек использовали стекло, золото и нитрид кремния. Перед нанесением подложки очищали в 96% этиловом спирте и промывали дистиллированной водой. При нанесении образца аденоовириуса на поверхность модифицированных подложек исходный препарат добавляли в PBS-T (10 mM фосфата, 150 mM NaCl, 0.05% твин-20) соотношении 1:10, после чего подложка целиком погружалась в получившийся буфер на 3 минуты. Дальнейшая процедура включала двукратную промывку в PBS-T. Для блокировки неспецифического связывания использовали бычий сывороточный альбумин (BCA, Sigma).

Атомно-силовая микроскопия была осуществлена с использованием коммерческого сканирующего зондового микроскопа Nanoscope IIIa (Digital Instruments, USA, Santa Barbara). Для снятия силовых кривых и для работы в режиме постоянного контакта использовали треугольные зонды Olympus OMCL-TR400PSA-1 (Радиус кривизны зондирующего острия <20 нм, длина кантилевера составляет 200 мкм, жесткость 0,02 Н/м). Данные обрабатывали при помощи программного обеспечения Digital Instruments и программы NanoScale Explorer.

### **Микромеханика вирусных частиц**

Для исследования механических свойств ротавирусов, вирусные частицы наносили на поверхность слюды, после чего проводили исследование методом АСМ. При этом вначале получали изображение участка поверхности слюды с адсорбированными вирусами в режиме постоянного контакта, а потом снимали силовые кривые для различных точек выбранного участка поверхности. При построении силовых кривых получают зависимость изгиба кантилевера  $\Delta Z_c$  от положения образца по отношению к зонду  $\Delta Z_p$  (рис. 1). Для анализа механических характеристик более удобно перейти к зависимости  $\Delta Z_c$  от величины  $D = \Delta Z_1 - \Delta Z_c$  (рис. 3). В этом случае D будет описывать деформацию образца под воздействием зонда, при этом мы предполагаем, что материал образца гораздо мягче, чем материал зонда.

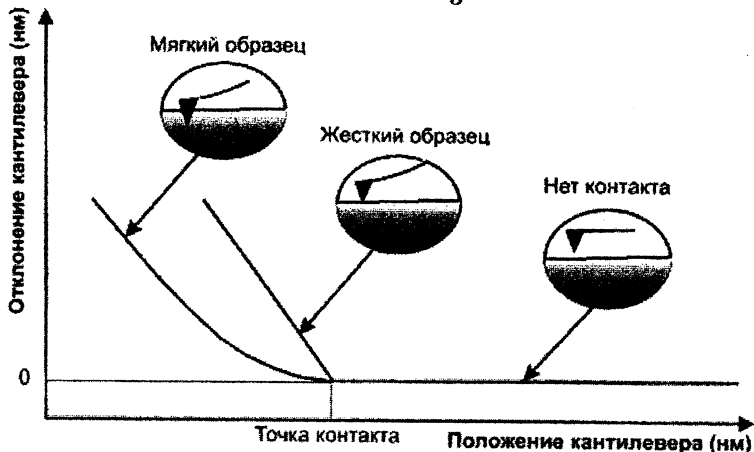


Рис. 1 Характерный вид силовых кривых АСМ для жесткого и мягкого образцов в координатах  $\Delta Z_c(\Delta Z_p)$ , полученных при подводе зонда к поверхности.

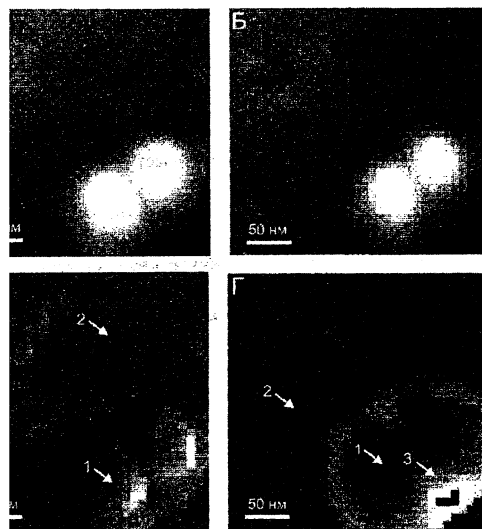
Площадь под этой кривой представляет собой работу  $A$ , которую совершает система при деформации образца. На рис. 2В приведено карта распределения величины  $A$  по выбранному участку поверхности, а рис. 3 демонстрирует характерный вид силовых кривых снятых на поверхности слюды и на поверхности вирусной частицы. Для построения карты был использован массив, состоящий из  $64 \times 64$  силовых кривых, снятых на площади  $250 \times 250 \text{ нм}^2$ . Сли считать, что деформация вирусной частицы при заданной силе давления является другой то можно использовать модель Герца [13,20], которая описывает механический контакт двух твердых тел, для нахождения значения модуля Юнга вирусной частицы. Огласно этой модели:

$$F = B \cdot D^{3/2} \quad (1)$$

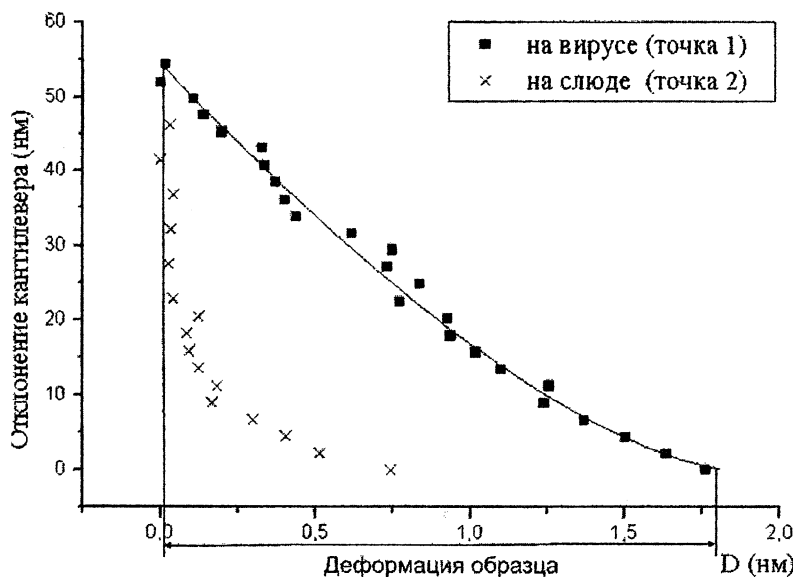
где  $F = k \Delta Z_c$  – сила давления на образец, а

$$B = \frac{1}{4 \left( \frac{1 - \sigma_o^2}{E} \right)^{1/2} \sqrt{\frac{1}{R_s} + \frac{1}{R_o}}}$$

$E$ - модуль Юнга вирусной частицы,  $R_s$  – радиус кривизны зонда,  $R_o$  – радиус кривизны сной частицы,  $\sigma_o$  - коэффициент Пуассона вирусной частицы. Таким образом, если звести аппроксимацию силовой кривой снятой в точке, которая соответствует центру сной частицы, зависимостью вида (1), и методом наименьших квадратов определить ение коэффициента  $B/k$ , то можно вычислить величину модуля Юнга для вирусной ицы. Усредняя значение этого коэффициента по нескольким кривым, и считая, что яетр ротавируса составляет 70 нм, радиус кривизны зонда – 10 нм, а жесткость балки илевера равна 0,02 Н/м, получим модуль Юнга вирусной частицы  $E=1,0 \times 10^8 \pm 0,3 \times 10^8$  Па. сравнения значение модуля упругости для вируса табачной мозаики составило  $4 \times 10^9$  Па для X вируса картофеля  $7 \times 10^8$  Па [6].



2 Построение многомерного образа вирусной частицы на основе данных, полученных в ичных режимах работы прибора. А – топография поверхности, полученная в режиме оянного контакта, Б - топография поверхности, полученная в режиме снятия силовых ъих АСМ, В – карта распределения работы, совершающей системой при деформации зца, Г – карта распределения силы адгезии зонда АСМ к поверхности образца.

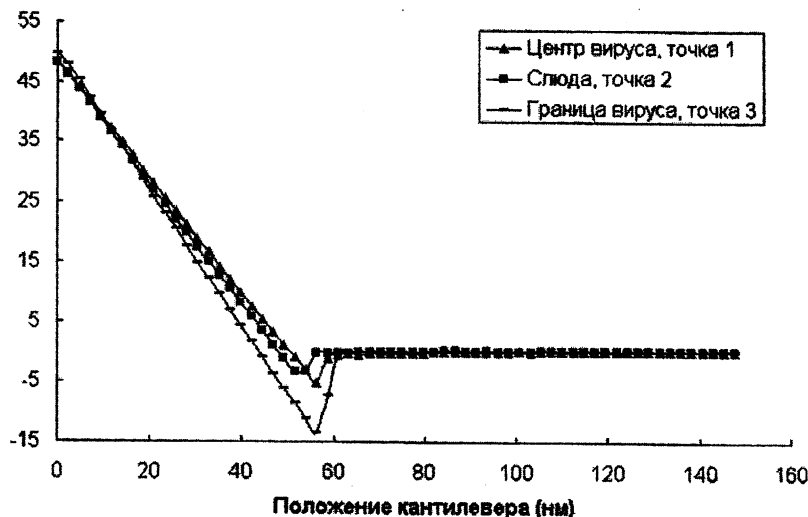


ис. 3 Силовые кривые ACM в координатах  $\Delta Z_c(D)$  снятые в точках 1 и 2 рисунка 2В, соответствующие поверхности вирусной частицы и поверхности слюды. Кривая, снятая в очке 1 аппроксимирована зависимостью вида (1). Кривые получены при подводе антилевера к поверхности образца.

следует отметить, что для успешного применения модели Герца необходимо исключить из рассмотрения силовые кривые, полученные в точках на границах вирусной частицы, поскольку в этом случае возникают искажения, связанные с формой зонда и особенностями азмерной системы слежения [1].

В то время как силовые кривые ACM полученные при подводе кантилевера к поверхности дают возможность определить упругие характеристики объекта, силовые кривые ACM, полученные при отводе от поверхности позволяют измерить силу адгезии зонда к поверхности. Эта сила соответствует максимальному отрицательному изгибу кантилевера на силовой кривой (рис. 4). Карта распределения сил адгезии для случая ротавирусов приведена

ис. 2Г. Величина силы адгезии в центре вирусной частицы составляет 0,3 нН, а на краях – 1, что объясняется увеличением площади контакта в граничных точках, которое возникает из-за сформой зонда ACM.

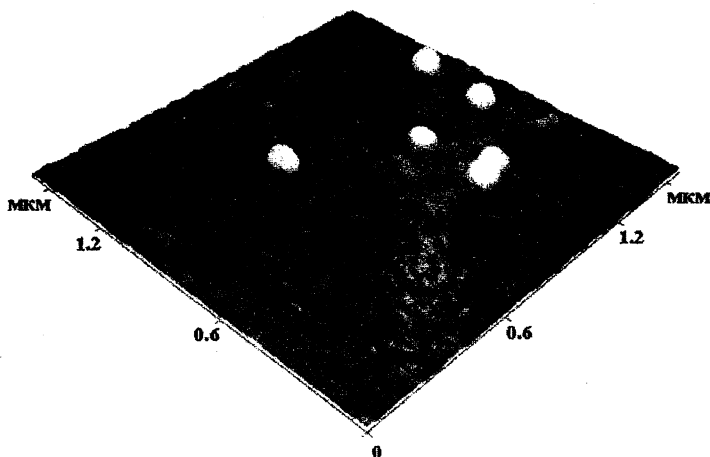


4 Силовые кривые ACM полученные при отводе кантилевера от поверхности образца в ах, которые соответствуют точкам 1,2,3 на рис. 2Г. Адгезия зонда к поверхности в точках зетствующих границам вирусной частицы (точка 3) больше чем в центре вируса (точка 1).

### АСМ вирусов на специфических подложках

В процессе работы было проведено исследование образцов аденоовириммобилизованного на неспецифические и специфические подложки методом АСМ. Случаи неспецифических подложек рассматривался для адекватного отождествления объектов наблюдаемых на ЛБ пленках антител. Наблюдаемый диаметр аденоовируса по данным АСМ составляет в среднем 120 нм, а наблюдаемая высота - 75 нм [9]. На следующем этапе работы была исследована топография сформированных пленок на трех различных стадиях: пленки с антителами, перенесенные на поверхность золота до добавления БСА, те же пленки, но уже после блокировки мест неспецифического связывания за счет добавления БСА и ЛБ пленки с комплексами антитело-АПЭ на поверхности золота составляет 12 нм. Последующее добавление обработанного сывороточного альбумина ведет к выравниванию ЛБ пленки. Добавление образца аденоовируса в систему приводит к увеличению толщины ЛБ пленки.

Для определения толщины пленки использовалась следующая методика: участок поверхности образца (1,5 мкм x 1,5 мкм) сканировался с большой силой взаимодействия зондом с образцом, что приводило к "сдирианию" пленки на этом месте и позволяло визуализировать поверхность подложки. Полученный перепад высот отождествлялся с толщиной ЛБ пленки с антителами, после добавления антигена. Эта величина варьировалась от 12 до 14 нм. В зависимости от выбранного участка поверхности, то есть можно констатировать некоторые различия в толщине пленки по сравнению с предыдущим случаем. Кроме того, на поверхности наблюдались частицы (рис. 5), которые по своим морфологическим характеристикам совпадали с частицами аденоовируса, нанесенными на поверхность золота, что дает возможность отождествить их с целыми частицами аденоовируса.



5 Отдельные частицы аденоовириуса на поверхности ЛБ пленки соответствующих антител. В местах присоединения вирусов к поверхности, пленка имеет более плотную структуру. Иммобилизование было осуществлено в дистиллированной воде с использованием жидкостной магнитной АСМ. Размер кадра составляет  $1,5 \times 1,5 \text{ мкм}^2$ , а перепад высот по вертикальной оси – 10 м.

Предложенный способ иммобилизации вирусных частиц на поверхности подложки для АСМ дает возможность проводить исследования в жидкой среде, при этом взаимодействие между вирусной частицей и поверхностью подложки оказывается достаточным, для того чтобы частица была надежно закреплена на поверхности, что и продемонстрировано на рис. 5. Использование мощным средством анализа поверхности, атомно-силовая микроскопия позволила не только исследовать топографию поверхности ЛБ пленок комплексов антитело-АПЭ на различных стадиях проведения анализа с использованием аденоовириуса и соответствующих антител.

**Заключение**

В работе был предложен метод исследования микромеханики вирусов при помощи изловых кривых АСМ, при этом величина модуля Юнга ротавируса составила  $E=1,0 \times 10^8 \pm 0,3 \times 10^8$  Па. Были получены карты распределения упругих характеристик и адгезии зонда к поверхности образца для случая ротавирусов, адсорбированных на споду. Были описаны особенности применения специфических подложек в АСМ вирусов на примере аденоовириуса и решена задача фиксации объекта на поверхности подложки для проведения исследования методом АСМ. Предложенные подходы позволяют расширить набор характеристик, описывающих вирусную частицу.

### Список литературы

- Hinning, G., Quate, C.F., Gerber, C.* // Phys. Rev. Lett. 1986 V.56. P. 930-933.
- Kuznetsov Yu.G., Malkin A.J., Glantz W., McPherson A.* // J. of Cryst. Growth. 1996. V. 168. P. 13-73.
- Mantovani J.D., Allison D.P., Warmack R.J., Ferrel T.L. et al* // J. of Microscopy. 1990. V. 158. Pt 1. P. 109-116.
- Sybrenko B.L., Jacobs, Lindsay S.M.* // Nuclear Acids Research. 1992. V. 20. N. 15. P. 3983-3986.
- Галлямов М.О. Сканирующая микроскопия нуклеиновых кислот и тонких органических макромолекул: диссертация канд. физико-математических наук (01.04.07): МГУ, 1999. 228 с.
- Ziselyova O.I., Nasikan N.S., Yaminsky I.V.* // Physics of Low-Dimensional Structures. 2001. V. 1/4. P. 167-174.
- Gerba C.P., Rose J.B.* // Drinking water microbiology/ Eds. Springer-Verlag, New York. 1990. P. 380-395.
- Чминский И.В., Большакова А.В., Логинов Б.А., Протасенко В.В., Суворов А.Л., Козодаваев И.А., Волчин Д.С. // Поверхность: рентгеновские, синхротронные и рентгеновские исследования 1999, Т.7. С. 74-77.
- Чгнатюк Т.Е., Голутвин И.А., Насикан Н.С., Суворов А.Л., Иванова О.Е., Еремеева Т.П. // Поверхность 2004., №2., С.38-42.
- Tao, N. J., S. M. Lindsay, S. Lees.* // Biophys. J. 1996. V. 63. P.1165-1169.
- Fritz, M., M. Radmacher, N. Peterson, H. E. Gaub.* // J. Vac. Sci. Technol. 1994. V.12. P.1526-529.
- Putman, C. A., K. O. Van der Werf, B. G. de Groot, N. F., Hulst, J. Greve.* // Biophys. J. 1994 V.67. P. 1749-1753.
- Radmacher M., Fritz M., Cleveland J.P., Walters D.A., Hansma P.K.* // Langmuir 1994 V. 10. P. 3809-3814.

4. Barmin A.V., Eremenko A.V., Sokolovsky A.A., Chernov S.F., Kurochkin I.N. //Biotechnol. Appl. Biochem. 1994. V.18. P. 369-376.
5. Barmin A.V., Eremenko A.V., Kurochkin I.N., Moskvina N.A.// Biotechnol. And Bioengineering 1994. V.44. P. 849-853.
5. Бабицкая Ю.И., Будашов И.А., Курочкин И.Н., Чернов С.Ф.// Биол. Мембранны 1996. Т. 13. вып. 6. С. 634-641
7. Wang J., Lin Y., Eremenko A.V., Kurochkin I.N., Mineeva M.F. //Anal. Chem. 1993. V. 65. P. 513-516.
8. Павельев А.Б., Курочкин И.Н., Чернов С.Ф. // Биол. Мембранны 1998. Т. 15. вып. 3. С. 342-348.
9. Курочкин И.Н., Будашов И.А., Павельев А.В., Денисов А.К., Скрипнюк В.В., Шабанов Г.А. // Сенсорные Системы, 1998., т. 12, вып. 1, С. 122-134.
10. Ландау Л.Д., Лифшиц Е.М., Теория упругости, М.: Наука, 1987. 244 с.

---

одписано к печати 24.11.03  
сл. печ. Л. 1,0      уч.-изд. Л. 0,7

Формат 60x90  
Тираж 101 экз.  
Индекс 3649

1/16  
Заказ 18-03

**Индекс 3649**

**Препринт 18 – 03, ИТЭФ, 2003**